



سنگ‌زایی گدازه‌های بالشی با تکیه بر داده‌های کالن‌شناسی و زمین‌شیمیایی در بخش شرقی افیولیت سبزوار

زهرا رضائی^۱، موسی نقره‌ئیان^{*}، امیلیو ساکانی^۲

۱- گروه زمین‌شناسی، دانشکده علوم، دانشگاه اصفهان، اصفهان، ایران

۲- گروه فیزیک و علوم زمین، دانشگاه فرارا، ایتالیا

(دریافت مقاله: ۹۷/۶/۱۷، نسخه نهایی: ۹۷/۱۰/۱۰)

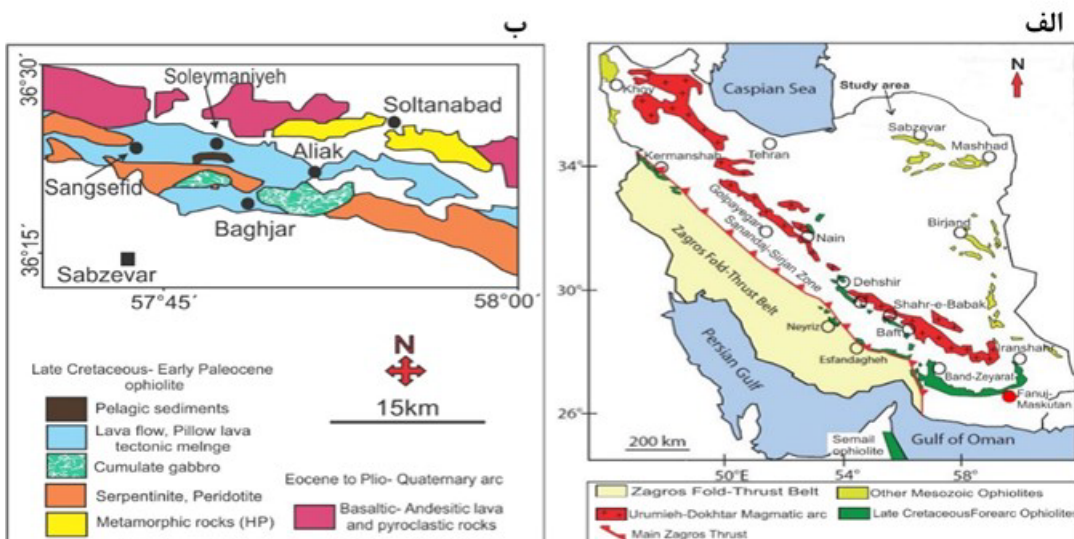
چکیده: گدازه‌های بالشی افیولیت سبزوار دارای بافت‌های واریولیتی، پورفیری با خمیره ریزستنگی، میان دانه‌ای و بادامی و کالن‌های پلازیوکلاز، کلینوپیروکسن (اوژیت- دیوپسید)، اولیوین، آمفیبول (منیزیوهاستینگزیت) و کالن‌های کدر هستند. ترکیب شیمیایی کلینوپیروکسن‌ها سری ماغمایی آهکی- قلیایی و محیط زمین‌ساختی بازالت‌های قلیایی درون‌صفحه‌ای نشان می‌دهند. این سنگ‌ها از نظر زمین‌شیمیایی، دو گروه (۱) در اصل آنژیت، آهکی- قلیایی و دارای TiO_2 پایین و (۲) بازالت‌های قلیایی با TiO_2 بالا تقسیم می‌شوند. با توجه به نمودار عناصر کمیاب بهنجار شده نسبت به بازالت‌های پشتہ میان اقیانوسی مورب عادی (N-MORB)، گروه ۱ غنی‌شدگی در La، U و تهی‌شدگی در Ti و Nb و گروه ۲ غنی‌شدگی در Ta، Th و Nb نشان می‌دهند. سنگ‌های آهکی- قلیایی در محیط زمین‌ساختی فرورانش و در اثر پوسته قاره‌ای تولید شده و در جنوب صفحه توران فوران یافته‌اند. برخلاف آن، سنگ‌های قلیایی در صفحه اقیانوسی تشکیل می‌شوند و سپس به طور زمین‌ساختی به مجموعه جلوی قوس افزوده می‌گردند.

واژه‌های کلیدی: افیولیت سبزوار، گدازه بالشی، شیمی کالنی، مژوزوئیک، شمال شرق ایران.

زاگرس شامل افیولیت‌های ماکو- خوی- سلاماس (کمربند خوی- ماکو) در شمال غرب ایران و نیز کرمانشاه- کردستان، افیولیت‌های نیریز و اسفندقه (حاجی آباد) (کرتاسه پسین- پالئوسن پیشین)، همچنین افیولیت‌های واقع در طول مرز ایران- عراق (کرتاسه پسین)،^۴ افیولیت‌های کمربند داخلی زاگرس شامل نائین، دهشیر، شهر بابک و افیولیت‌های پیرامون جنوب بلوک ایران مرکزی (کرتاسه پسین)،^۵ افیولیت‌های سبزوار- تربت حیدریه در شمال شرق ایران (کرتاسه پسین- پالئوسن پیشین). یکی از بخش‌های سازنده و مهم در توالی افیولیتی سبزوار، گدازه‌های بالشی هستند که در بخش‌های پسین پوسته اقیانوسی قرار می‌گیرند [۴]. در این مقاله تمرکز اصلی بر تفسیر داده‌های کالن‌شناسی، سنگ‌شناسی و زمین‌شیمی گدازه‌های بالشی افیولیت سبزوار است.

مقدمه

افیولیت‌های ایران بقایای اقیانوس‌های پالئوتیس (سن پالئوزوئیک) و نئوتیس (سن مژوزوئیک) هستند که به دلیل موقعیت جغرافیایی بی مانند خود از اهمیت ویژه‌ای برخوردارند (شکل ۱ الف) [۱]. افیولیت‌های پالئوزوئیک در شمال ایران در مرز بین قطعه توران (اوراسیا) و سیمیریا (قطعه‌های ایران مرکزی و البرز) رخنمون دارند [۲، ۳]. این در حالی است که افیولیت‌های مژوزوئیک ایران بر اساس سن و جغرافیا به ۵ کمربند تقسیم می‌شوند: (۱) افیولیت‌های منشور افزایشی مکران در جنوب شرق ایران شامل افیولیت‌های کهنه‌ج (ژوراسیک پسین- کرتاسه)، (۲) افیولیت‌های بیرجن- نهندان- چهل کوره (کمربند بیرجن- نهندان در شرق ایران بین قطعه‌های لوت و افغان) (کرتاسه پیشین تا پسین)، (۳) افیولیت‌های کمربند خارجی زاگرس (کرتاسه پیشین) در طول روراندگی اصلی



شکل ۱ الف-پراکنده‌گی افیولیت‌های ایران [۱]. ب- نقشه زمین‌شناسی منطقه سبزوار برگرفته از نقشه ماگمایی [۱]: ۱:۱۰۰۰۰۰

ترکیب هارزبورزیت و هارزبورزیت غنی از کلینوپیروکسن و کمی لرزولیت بوده و همراه با عدی‌های دونیتی دربردارنده کرومیت هستند و توسط دایک‌های گابروی پگماتیتی، میکروگابرو و دیابازی منفرد و بودینه قطع شده‌اند. توالی پوسته‌ای آذرین درونی شامل ورلیت، گابروی لایه‌ای و گابروی همسانگرد است و به طور تدریجی در بالا به مجموعه دایک‌های صفحه‌ای تبدیل شده و توسط پلازیوگرانیت قطع گردیده است. توالی پوسته‌ای خروجی شامل گدازه‌های بالشی، برش، توف و روانه بازالتی است که به صورت بین‌لایه‌ای با آهک‌های گودابه‌ای دارای ریزفسیلهای کرتاسه پسین (ماستریشتین-ماستریشتین پسین) قرار گرفته‌اند که بیانگر سن کرتاسه پسین برای گدازه‌های بالشی هستند [۶]. در داخل مجموعه افیولیتی سبزوار توده‌هایی از سنگ‌های دگرگونی شامل شیست سبز، میکاشیست، شیست آبی، آمفیبولیت، گرانولیت و مرمر وجود دارد که بیشتر در بخش مرکزی و شرقی توالی واقع شده‌اند (شکل ۱ ب) [۱، ۷-۱۲]. منطقه مورد بررسی در گستره طول‌های جغرافیایی 40° تا 58° شرقی و عرض‌های جغرافیایی 30° تا 36° شمالی رخنمون دارند.

سنگ‌نگاری

گدازه‌های بالشی در منطقه مورد بررسی دارای شکل‌های مدور، کشیده و بیضوی بوده و به رنگ‌های تیره تا سبز و قهوه‌ای هستند و پستی و بلندی خشن را نمایان می‌سازند (شکل ۲ الف). سطح بالایی گدازه‌های بالشی اغلب محدب است، در حالی که سطح زیرین به پیروی از سطح بالایی گدازه‌های

روش بررسی

پس از بررسی‌های صحرایی و نمونه‌برداری اصولی، مقاطع نازک از نمونه‌ها در آزمایشگاه دانشکده علوم زمین دانشگاه اصفهان تهیه و برای تجزیه شیمیایی انتخاب شدند. تجزیه به روش ریزپردازش نقطه‌ای کلینوپیروکسن و آمفیبول در گدازه‌های بالشی در آزمایشگاه تحقیقاتی دانشگاه نانسی فرانسه به وسیله دستگاه‌های MS-46 CAMEBAX و ۱۵ کیلوولت و جریان ۲۰ نانو آمپر و زمان تجزیه ۶ ثانیه و اندازه پرتو ۱ تا ۳ میکرومتر انجام شد. همچنین برای تجزیه شیمیایی سنگ‌کل فرصهای فشرده‌ای از پودرها انتخاب و از دستگاه ARL-Advant- (XRF) طیف‌سنج فلئورسانس پرتو ایکس (XRF) در دانشکده علوم زمین دانشگاه فرارا در کشور ایتالیا، استفاده شد. مواد فرار (L.O.I) در دمای 1100°C در اندازه گیری شدند. عناصری چون Rb, Sr, Y, Zr, Nb, Hf, Ta, Th, U و REE (Rare Earth Elements) با استفاده از دستگاه طیف‌سنج (ICP-MS) مجهری پلاسمای جفت شده القایی (ICP-MS) مجهری به طیف سنج گرمایی سری X-1 اندازه گیری شدند.

زمین‌شناسی منطقه

توالی افیولیتی سبزوار با روند تقریباً شرقی- غربی مرز بین دو پهنه ساختاری ایران مرکزی و البرز- بینالود رخنمون دارد و مشخص کننده بخشی از شاخه شمالی اقیانوس نشوتنیس محسوب می‌شود [۵]. این مجموعه افیولیتی شامل پریدوتیت‌های گوشه‌ای و توالی پوسته‌ای است که اغلب پریدوتیت‌ها سرپانتینی شده‌اند. بخش‌های سالم آن دارای

گدازه‌های بالشی و بافت میان دانه‌ای در بخش‌های درونی تر گدازه‌های بالشی هستند. هم چنین بافت حفره‌ای ناشی از خروج گازها و مواد فرار هنگام سرد شدن در این گدازه‌ها تشکیل شده است. حفره‌ها با کلسیت، کلریت و سرسیت پر شده‌اند (شکل ۲ پ تا ث). در گدازه‌های بالشی با بافت واریولیتی، درشت بلورهای پلازیوکلاز کوچکتر از سانتی‌متر دیده می‌شوند. بیشتر ریزدرشت بلورهای پلازیوکلاز سوسوریتی شده‌اند. درشت بلورهای پلازیوکلاز گاه دارای بافت‌های انحلالی بوده، در موارد اندک، زمینه به صورت خلیجی به داخل پلازیوکلاز میزبان گسترش یافته است و لبه‌های واکنشی دگرسان شده‌ای دیده می‌شود. پلازیوکلازها به صورت بلورهای سوزنی دسته جارویی و بادبزنی، با بافت آبله‌گونی، کانی‌های اسکلتی (توخالی) در زمینه شیشه‌ای، شاخه‌ای و دم‌چلجه‌ای (شکل ۲ ج) هستند و برخی نیز ساختار ظاهری شبیه قلاب کمربند دارند که فضای خالی در آن توسط یک یا چند کلینوپیروکسن اشغال شده و نشانه سرد شدن سریع مانگاست.

بالشی پیشین شکل گرفته است. اغلب بین گدازه‌های بالشی فضاهایی وجود دارند که توسط موادی در قالب سیمان پر شده‌اند (شکل ۲ ب) و در اثر دگرسانی کف اقیانوس، گدازه‌های بالشی در بخش‌هایی تبدیل به اسپیلیت شده‌اند. در مقایسه با انواع مواد آذرین که در سطح زمین منجمد می‌شوند، انجماد گدازه‌های بالشی به دلیل تعامل با آب دریا بسیار سریع و ناگهانی است به طوری که موجب شکستگی‌های شعاعی در درون بالش‌ها و همچنین شکستگی‌های منشوری با شکل چندوجهی در سطح گدازه‌های بالشی شده است. این شکستگی‌ها موجب تسرب اسپیلیتی شدن آنها می‌شود. از کانی‌های موجود در گدازه‌های بالشی افیولیت سبزوار می‌توان از اولیوین، پلازیوکلاز، کلینوپیروکسن، آمفیبول و مگنتیت نام برد. اولیوین‌های شکل دار در اثر دگرسانی تبدیل به ایدنگزیت شده‌اند. پلازیوکلاز هم به صورت درشت بلور و هم به صورت ریزسنگ حضور دارد. گدازه‌های بالشی افیولیت سبزوار بیشتر دارای بافت‌های میکروپورفیری با خمیره شیشه‌ای ریزسنگی و حالت جریانی، گلومروپورفیریتی، واریولیتی در لبه



شکل ۲ تصاویر صحرایی و میکروسکوپی از گدازه‌های بالشی افیولیت سبزوار. الف- نمایی از گدازه‌های بالشی ب- گدازه‌های بالشی که به وسیله سیمان به هم متصل شده‌اند. پ- بافت حفره‌ای، که حفره‌ها به طور عمده از کلسیت پر شده‌اند (10X). ت- ریزسنگی جریانی که پلازیوکلازها (PL) به همراه کلینوپیروکسن‌ها (CPX) جهت‌یافتنی دارند (5X). ث- بافت گلومروپورفیری، بلورهای درشت خوش‌های پلازیوکلاز در یک زمینه دانه‌ریز ریزسنگی پلازیوکلاز و کلینوپیروکسن و کانی‌های کدر (10X). ج- سنگ بازالتی دربردارنده پلازیوکلازهای با شکل دم چلجه‌ای (10X).

بلورها سالم‌ترند. خمیره از ریزسنگ‌های پلازیوکلаз و بلورهای ریز کلینوپیروکسن همراه با بقایای شیشه آتشفشنانی کلریتی‌شده تشکیل یافته است. پیروکسن‌ها بیشتر اورالیتی شده‌اند. مگنتیت کانی فرعی موجود در این سنگ‌ها، بیشتر به صورت نیمه‌شکل‌دار دیده می‌شود.

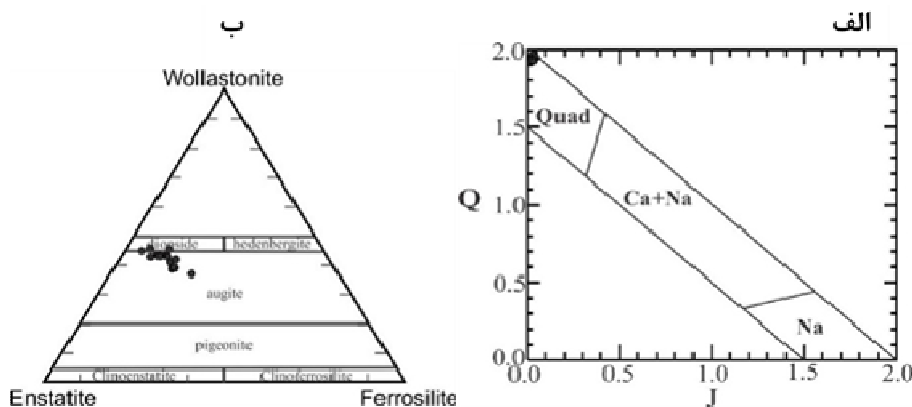
شیمی کانی‌ها

بر اساس نتایج تجزیه کانی به روش ریزپردازش نقطه‌ای (جدول ۱) و با توجه به نمودار رده‌بندی مرجع [۱۵]، ترکیب اعضاً نهایی کانی کلینوپیروکسن‌ها در گستره $FS_{4/7-22/57}$ $W_{0.37/45-1.18/2}E_{n.40/50-3.8/23}$ و در نمودار Q-J در گستره پیروکسن‌های Ca-Mg-Fe (Quad) قرار می‌گیرد و ترکیب دیوپسید تا اوژیت را نشان می‌دهد (شکل‌های ۳ الف و ب). این کانی‌ها در اصل غنی از SiO_2 و MgO و فقیر از TiO_2 هستند.

رخداد این شکل‌های بلوری سرد شده در گدازه‌های بالشی امکان تبلور درجا را فراهم می‌کند [۱۳]. بلورهای کلینوپیروکسن نیمه‌شکل‌دار تا بی‌شکل هستند و بیشتر در زمینه سنگ یافت می‌شوند. در بالش‌های واریولیتی، کانی کلینوپیروکسن اغلب اسکلتی بوده یا همراه با پلازیوکلازها به صورت اسفلولیتی کروی درون فضای بسته رشتهدانی پلازیوکلازها رشد یافته است. کلینوپیروکسن‌ها گاهی در مرکز بالش‌ها به صورت شاخه‌مانند دیده می‌شوند و به صورت بافت خال خال همراه با میانبارهای پلازیوکلازها هستند. درشت بلورهای کلینوپیروکسن توسط مجموعه‌ای از کلریت، اکتینولیت و کلسیت جانشین شده‌اند. ریزپردازش بلورها اغلب به صورت خوش‌هایی از پلازیوکلاز و کلینوپیروکسن دیده می‌شوند که به صورت تداخلی و همزمان تشکیل شده‌اند و در مقایسه با درشت

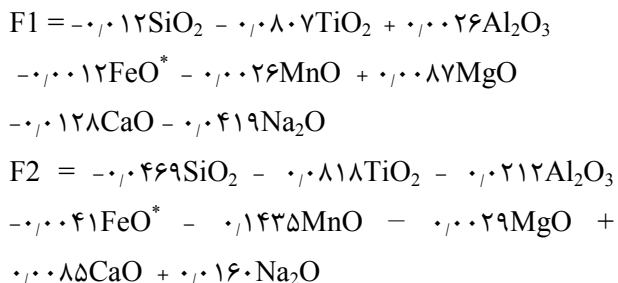
جدول ۱ نتایج تجزیه به روش ریزپردازش نقطه‌ای کانی کلینوپیروکسن بر اساس ۶ اکسیژن در نمونه‌های گدازه‌های بالشی مورد بررسی [۱۴].

نمونه	77BIR.33	77BIR.33	77BIR.33	77BIR.33	77BIR.33	77BIR.20B	77BIR.20B	77BIR.48	77BIR.48	77BIR.48	77BIR.48	77BIR.48	77BIR.48	77BIR.129
نقطه	۹	۱۰	۸	۱۱	۱۲	۱۶	۱۹	۴۱	۲	۳	۴	۵	۷	۳۲
SiO ₂	۵۰,۶۳	۵۱,۵۴	۵۱,۸۴	۵۰,۹۶	۵۰,۴۱	۵۰,۸۲	۴۹,۸	۵۱,۳۸	۵۲,۵۹	۵۱,۸۹	۵۱,۲۱	۵۲,۵۴	۵۲,۲۲	۵۰,۴۱
Al ₂ O ₃	۳,۵	۳,۲۶	۱,۸۸	۲,۳۹	۲,۵۱	۲,۹	۳	۱,۹۹	۱,۹۸	۲,۵۶	۲,۶۷	۱,۷۴	۱,۵	۳,۱۵
FeO	۷,۱۸	۷,۹	۱۰,۱	۱۰,۶	۹,۱۵	۱۰	۹,۸۹	۸,۶	۴,۳۶	۵,۸۸	۶,۰۸	۵,۳۲	۲,۹۴	۷,۲۸
MnO	۰,۲۳	۰,۱۷	۰,۴۲	۰,۴۶	۰,۵	۰,۴۳	۰,۳۴	۰,۳۳	۰,۱۲	۰,۲۹	۰,۵۲	۰	۰,۰۱	۰,۳۱
MgO	۱۵,۱۹	۱۵,۶۱	۱۵,۳۶	۱۴,۹۶	۱۴,۵۶	۱۶,۰۶	۱۵,۱۷	۱۵,۴۲	۱۵,۸۲	۱۶,۳۲	۱۶,۱۵	۱۷,۳۹	۱۷,۵۴	۱۴,۴۱
CaO	۲۰,۷۳	۲۱,۲۹	۱۹,۰۶	۱۹,۲۴	۲۰,۱۶	۱۹,۳۸	۱۸,۸	۱۹,۸۸	۲۲,۸۸	۲۱,۴۸	۲۱,۲۳	۲۱,۴۱	۲۱,۹۴	۲۱,۶۴
Na ₂ O	۰,۱۷	۰,۱۹	۰,۲۶	۰,۲۸	۰,۲۷	۰,۲۹	۰,۳۲	۰,۲	۰,۰۹	۰,۰۹	۰,۱۴	۰,۲۶	۰,۱۴	۰,۲۵
K ₂ O	۰	۰	۰	۰	۰	۰	۰,۰۲	۰	۰	۰	۰	۰	۰	۰
TiO ₂	۰,۲۶	۰,۳۵	۰,۳۲	۰,۳۴	۰,۵	۰,۷۵	۰,۶۳	۰,۳۶	۰,۰۲	۰,۱۲	۰,۱۲	۰,۰۶	۰,۰۹	۰,۵۵
مجموع اکسید های کاتیونی	۹۷,۸۹	۱۰۰,۳۱	۹۹,۲۴	۹۹,۲۳	۹۹,۰۶	۱۰۰,۷۳	۹۷,۹۷	۹۸,۱۶	۹۸,۸۶	۹۸,۶۳	۹۸,۱۲	۹۸,۷۲	۹۷,۳۸	۹۸
Si	۱,۹۰۷	۱,۹۰۳	۱,۹۴۴	۱,۸۸۶	۱,۸۹۶	۱,۹۵۵	۱,۹۴۳	۱,۹۳۱	۱,۹۲۱	۱,۹۴۱	۱,۹۶۷	۱,۹۲۱	۱,۹۱۷	۱,۹۰۷
Al(IV)	۰,۰۹۳	۰,۰۹۷	۰,۰۵۶	۰,۱۱۴	۰,۱۰۴	۰,۰۴۵	۰,۰۵۷	۰,۰۶۹	۰,۰۷۹	۰,۰۵۵	۰,۰۳۳	۰,۰۷۹	۰,۰۸۳	۰,۰۹۳
Al (VI)	۰,۰۶۲	۰,۰۴۳	۰,۰۲۷	۰,۰۰۷	۰,۰۳	۰,۰۴۴	۰,۰۲۵	۰,۰۴۳	۰,۰۳۹	۰,۰۱۶	۰,۰۳۲	۰,۰۲۷	۰,۰۲۹	۰,۰۴۸
Cr	۰	۰	۰	۰,۰۰۲	۰	۰	۰,۰۰۴	۰	۰,۰۱	۰,۰۱۸	۰	۰	۰	۰
Ti	۰,۰۰۷	۰,۰۰۹۷	۰,۰۰۹	۰,۰۲	۰,۰۱۸	۰,۰۱	۰,۰۰۱	۰,۰۰۷	۰,۰۰۳	۰,۰۰۲	۰,۰۰۳	۰,۰۱	۰,۰۱۴	۰,۰۱۶
Fe(+2)	۰,۲۲۶	۰,۲۴۳	۰,۳۱۵	۰,۳۰۸	۰,۳۱۳	۰,۲۷۳	۰,۱۳۴	۰,۱۸۲	۰,۱۹	۰,۱۶۴	۰,۰۹۱	۰,۳۳۳	۰,۲۹	۰,۲۲۹
Mn	۰,۰۰۷	۰,۰۰۵	۰,۰۱۳	۰,۰۱۳	۰,۰۱	۰,۰۱	۰,۰۰۴	۰,۰۰۹	۰,۰۱۶	۰	۰	۰,۰۱۴	۰,۰۱۵	۰,۰۰۹
Mg	۰,۸۶	۰,۸۶۴	۰,۸۶۴	۰,۸۹۲	۰,۸۶۶	۰,۸۸	۰,۹۳۶	۰,۹۱۱	۰,۹۰۹	۰,۹۶۴	۰,۹۷۲	۰,۸۴۶	۰,۸۳	۰,۸۱۸
Ca	۰,۸۳۸	۰,۸۴۲	۰,۷۶۶	۰,۷۶۹	۰,۷۶۷	۰,۸۱	۰,۹۰۵	۰,۸۵۶	۰,۸۵۳	۰,۸۴۸	۰,۸۶۸	۰,۷۷۷	۰,۸۲۱	۰,۸۷۷
Na	۰,۰۱۳	۰,۰۱۴	۰,۰۱۹	۰,۰۲	۰,۰۲۴	۰,۰۱۵	۰,۰۰۶	۰,۰۰۶	۰,۰۱	۰,۰۱۹	۰,۰۱	۰,۰۲	۰,۰۱۹	۰,۰۱۹
K	۰	۰	۰	۰	۰	۰	۰	۰	۰	۰	۰	۰	۰	۰
کاتیون‌های کل	۴,۰۱۳	۴,۰۰۷	۴,۰۱۳	۴,۰۳۱	۴,۰۲۹	۴,۰۴۲	۴,۰۱۲	۴,۰۱۸	۴,۰۲	۴,۰۲۲	۳,۹۹۳	۴,۰۲۶	۴,۰۱۸	۴,۰۱۵
ولاتستویت	۴۳,۴۹	۴۳,۱	۳۹,۱۲	۲۸,۸	۳۹,۱۳	۴۱,۰۵	۴۵,۸۲	۴۳,۷	۴۲,۹۱	۴۲,۹۱	۴۵	۳۷,۱	۴۱,۹۷	۴۵,۵۸
انستاتیت	۴۴,۸۳	۴۴,۲۱	۴۴,۱۳	۴۵,۰۵	۴۴,۱۸	۴۴,۶	۴۷,۴	۴۶,۵۲	۴۶,۱۹	۴۸,۷۶	۵۰,۳۳	۴۰,۳۸	۴۲,۴۳	۴۲,۴۹
فروسلیت	۱۲,۰۷	۱۲,۶۹	۱۶,۷۵	۱۶,۱۵	۱۶,۴۷	۱۴,۳۴	۶,۷۵	۹,۷۵	۱۰,۵	۸,۳	۴,۷	۲۲,۵۷	۱۵,۵۹	۱۱,۹۲



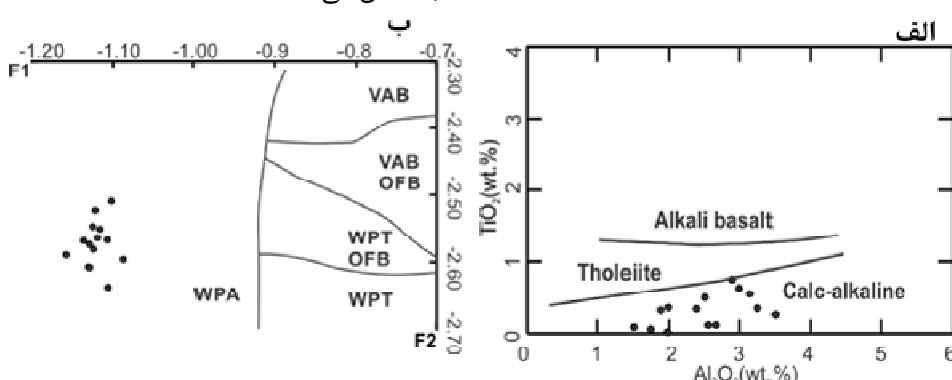
شکل ۳ الف- نمودار Q-J، که براساس آن کلینوپیروکسن‌ها در گستره Quad قرار می‌گیرند [۱۵]. ب- نمودار Wo-En-Fs که نشان دهنده ترکیب اوزیت و دیوپسید برای کلینوپیروکسن‌هاست [۱۵].

بازالت‌های قلیایی درون‌صفحه‌ای قرار می‌گیرند (شکل ۴ ب). F1 و F2 بر پایه تجزیه نقطه‌ای کانی کلینوپیروکسن به صورت زیر محاسبه می‌شوند:



به منظور تعیین عناصر اصلی سازنده آمفیبول‌ها، این کانی‌ها با ریزپردازشگر نقطه‌ای بررسی قرار شدند که دارای SiO_2 ۱۵/۷۱-۱۴/۸۹٪ (درصد وزنی) و MgO ۴۱/۵-۴۲/۷۴٪ (درصد وزنی) هستند (جدول ۲). این آمفیبول‌ها با توجه به نمودار رده‌بندی مرجع [۱۶] در گروه آمفیبول‌های کلسیمی قرار می‌گیرند (شکل ۵ الف) و ترکیب منیزیو‌هاستینگریت (شکل ۵ ب) نشان می‌دهند.

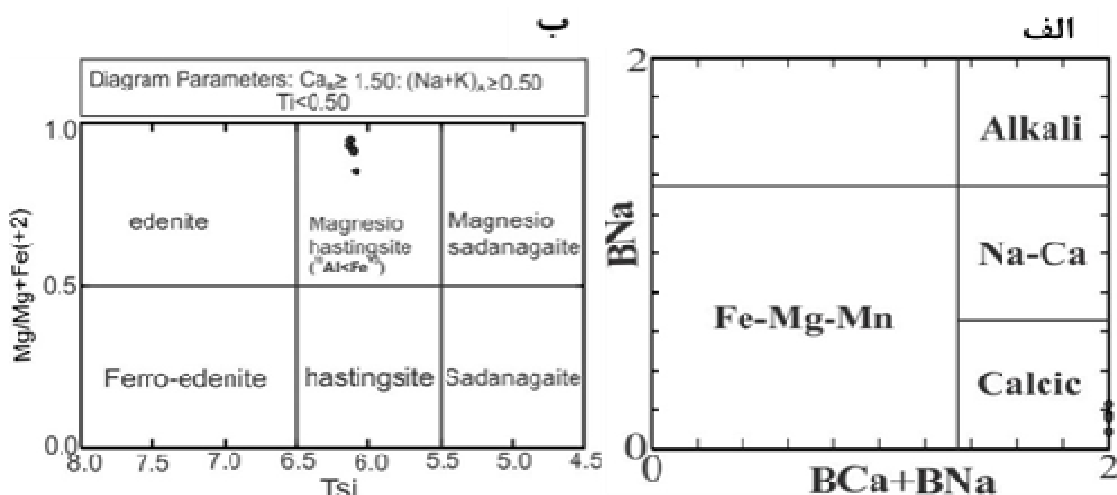
از بین کانی‌های موجود در سنگ‌ها، کانی کلینوپیروکسن می‌تواند همه عناصر موجود در مagma را در خود جای دهد، بنابراین ترکیب آن می‌تواند نماینده نوع مagma باشد که این کانی از آن ناشی می‌شود. بر این اساس، نمودار Al_2O_3 نسبت به TiO_2 [۱۶] نشان می‌دهد که کلینوپیروکسن‌ها در گستره آهکی-قلیایی واقع شده‌اند (شکل ۴ الف). از جمله نمودارهای که برای تشخیص محیط زمین ساخته مagma از ترکیب کلینوپیروکسن استفاده می‌شود، می‌توان به نمودار F1-F2 [۱۷] اشاره کرد. این نمودار کلینوپیروکسن‌های بازالت‌های قلیایی درون‌صفحه‌ای (WPA) را از سایر انواع magma جدا می‌کند. جدایش magma درون‌صفحه‌ای تولیتی (WPT) از magma قوس آتشفسانی (VAB) نیز به خوبی صورت می‌گیرد؛ ولی همپوشی قابل ملاحظه‌ای بین بازالت‌های کف اقیانوس VAB-OFB و WPT-OFB دیده می‌شود. نتایج بررسی نمونه‌ها نشان می‌دهد که کلینوپیروکسن‌ها در گستره



شکل ۴ الف- نمودار Al_2O_3 نسبت به TiO_2 که براساس آن کلینوپیروکسن‌ها در گستره آهکی-قلیایی قرار می‌گیرند [۱۶] و ب- نمودار WPA که با استفاده از ترکیب کلینوپیروکسن‌ها محیط زمین ساختی بازالت‌های قلیایی درون‌صفحه‌ای (WPA) نشان می‌دهد [۱۷].

جدول ۲ نتایج تجزیه به روش ریزپرداز نقطه‌ای کانی آمفیبول بر اساس ۲۳ اکسیژن نمونه سنگ [۱۴] (77BIR.129)

نقطه	37	29	31	30
SiO ₂	۴۱,۷۹	۴۲,۷۴	۴۲,۰۴	۴۱,۵
Al ₂ O ₃	۱۳,۰۸	۱۳,۲۱	۱۲,۸	۱۲,۹۶
FeO	۹,۹۵	۹,۱۴	۸,۹۳	۹,۰۱
MnO	۰,۱۳	-	۰,۰۴	-
MgO	۱۴,۸۹	۱۵,۷۱	۱۵,۵۵	۱۵,۳
CaO	۱۲,۲۷	۱۱,۵۳	۱۱,۶۷	۱۱,۶۷
Na ₂ O	۲,۲۱	۲,۱۹	۲,۱۳	۲,۱۱
K ₂ O	۰,۵۱	۰,۵۲	۰,۵۳	۰,۴۸
مجموع کاتیونی	۹۴,۸۳	۹۵,۰۴	۹۳,۶۹	۹۳,۰۳
Si	۶,۰۸۸	۶,۱۳	۶,۱۳۵	۶,۱۰۷
Al(IV)	۱,۹۱۱۳	۱,۸۷	۱,۸۶۵	۱,۸۹۳۵
Site T	۸	۸	۸	۸
Al(VI)	۰,۳۳۰۷	۰,۳۵۸	۰,۳۳۱۹	۰,۳۶۱۲
Ti	۰,۱۹۱۷	۰,۱۶۶۶	۰,۱۷۴	۰,۱۶۹۹
Fe(+3)	۰,۶۴۳۸	۰,۹۲۴	۰,۸۲۹	۰,۸۲۲۸
Mg	۳,۲۳۴	۳,۳۷۹۷	۳,۴۰۳۶	۳,۳۷۷
Fe(+2)	۰,۵۶۳۵	۰,۱۷۱	۰,۲۵۵۴	۰,۲۸۱
Mn	۰,۰۱۵۸	-	۰,۰۰۵	-
Cاجایگاه	۴,۹۹۹۵	۴,۹۹۹۳	۴,۹۹۸۹	۵,۰۱
Ca	۱,۹۱۵۴	۱,۷۷۱	۱,۸۲۴۷	۱,۸۳۹۸
Na	۰,۰۸۴۵	۰,۲۲۹	۰,۱۷۵۳	۰,۱۶۰۲
Bاجایگاه	۱,۹۹۹۸	۲	۲	۲
Na	۰,۵۳۸۴	۰,۳۷۹	۰,۴۲۶	۰,۴۴۰۶
K	۰,۰۹۴۶	۰,۰۹۵	۰,۰۹۶۷	۰,۰۸۹۹
Aجایگاه	۰,۶۳۳	۰,۴۷۴	۰,۵۲۳	۰,۵۳۰۵
Mg/Mg+Fe(+2)	۰,۸۵۲۳	۰,۹۵۱	۰,۹۳	۰,۹۱۳۶



شکل ۵ الف-نمودار تقسیم‌بندی کلی و نامگذاری آمفیبولها [۱۸] و ب-نمودار ب که براساس آن آمفیبول‌های موجود در گستره کلسیمی و از نوع منزیووهاستینگریت هستند [۱۸].

ناسازگار ناهنجاری مثبت در Ce, La, U, Th و Nb و Ti نشان می‌دهند. نمودار عناصر کمیاب بهنجارشده کندریت (شکل ۸ ب) [۲۳] از این (LREE) به سنگ‌ها، با شبیه ملایم از عنصر خاکی نادر سبک (HREE) کاهش دارند. این الگوها برای گروه ۱ و ۲، به سمت ۱۲۰-۳۰۰ ppm ترتیب غنی‌شدگی از مرتبه ۷۰-۵۰ و ۱۵-۸ و ۳۰-۱۰ برابر کندریت برای و تهی‌شدگی از مرتبه ۱۵-۸ و ۱۰-۳۰ برابر کندریت برای LREE و HREE دارند. نمودار $\text{Y}^3/\text{Zr-Ti}/100$ [۲۴]، به طور بسیار مؤثری بازالت‌های درون صفحه‌ای و سایر انواع بازالت‌ها را از هم تفکیک می‌کند. همچنین گستره تولیت جزایرقوسی و بازالت‌های آهکی-قلیایی جدا شده‌اند. نمونه‌های گدازه‌های بالشی مناطق مورد بررسی در گستره بازالت‌های آهکی-قلیایی (گروه ۱) و بازالت‌های درون صفحه‌ای (گروه ۲) واقع شده‌اند (شکل ۹).

محیط زمین ساختی

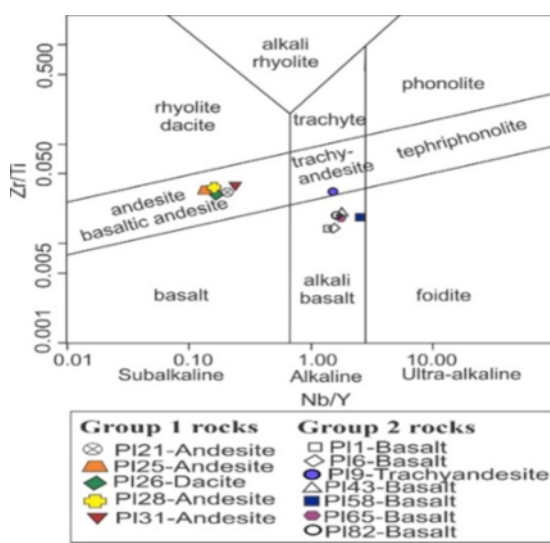
بر اساس بررسی‌های پیشین [۳۱-۲۵] با توجه به تنوع زمین شیمیایی و سنگ‌شناسی این سنگ‌ها چندین رخداد زمین-ساختی‌ماگمایی متفاوت در حوضه اقیانوسی سبزوار روی داده است و مدل‌های زمین ساختی مختلفی برای تشکیل سنگ‌های ماگمایی متفاوت افیولیت سبزوار پیشنهاد شده است. یافته‌های جدید به بهبود مدل‌های زمین‌ساختی کمک می‌کند. شیمی سنگ‌های آتشفسانی آهکی-قلیایی (گروه ۱) نشان می‌دهند که آنها به شدت متأثر از عناصر شیمیایی پوسته قاره‌ای هستند و پیشنهاد می‌شود که این سنگ‌ها در گستره جنوب حوضه قاره‌ای توران فوران کرده‌اند. هم چنین با توجه به ترکیب زمین شیمیایی سنگ‌های آتشفسانی قلیایی افیولیت سبزوار (گروه ۲) پیشنهاد می‌شود که خاستگاه آنها درون صفحه اقیانوسی است و این بازالت‌ها هنگامی که در اثر فعالیت زمین‌ساختی به منطقه گودال می‌رسند، به ناحیه جلوی قوس افزوده می‌شوند. آنها به طور موضعی با رسوب‌های آتشفسان آواری و تمثیلهای آذرآواری ناشی شده از جلوی قوس پوشیده می‌شوند.

شیمی سنگ کل

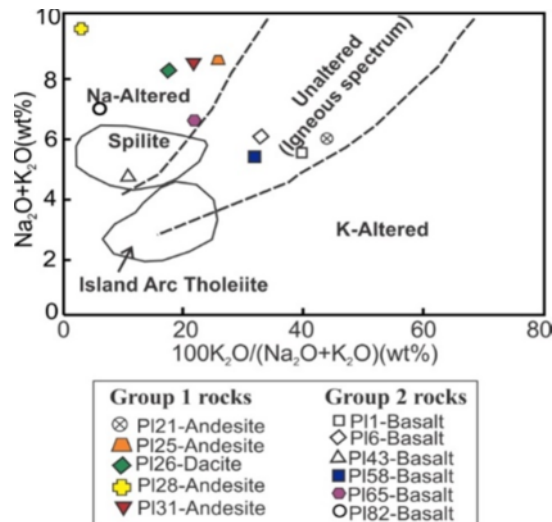
بر اساس نتایج تجزیه شیمیایی سنگ کل (جدول ۳)، گروه ۱ مربوط به سنگ‌های منطقه علیک بیشتر از نوع آندزیت و یک نمونه داسیت و گروه ۲ سنگ‌های منطقه باجر و سلیمانیه از نوع بازالت و یک نمونه آندزیت تراکی هستند. مقادیر عناصر اصلی گروه ۱ عبارتند از $\text{SiO}_2 = 62.69\%$, $\text{Mg} \# = 0.32 - 0.34$, $\text{TiO}_2 = 0.81 - 0.80\%$, $\text{P}_2\text{O}_5 = 45.30\%$ و $\text{Y} = 15.47 - 16.7 \text{ ppm}$. مقدار عناصر فرعی $\text{Zr} = 15.26 \text{ ppm}$ و $\text{Nb} = 0.36 - 0.40 \text{ ppm}$ است. همچنین برای گروه ۲ نمونه سنگ‌های گدازه بالشی است. همچنین برای گروه ۲ نمونه سنگ‌های گدازه بالشی $\text{SiO}_2 = 46.20\%$, $\text{Mg} \# = 0.30 - 0.33$, $\text{TiO}_2 = 1.54\%$, $\text{P}_2\text{O}_5 = 0.40 - 0.44\%$, $\text{Y} = 1.18 - 1.18 \text{ ppm}$ و $\text{Zr} = 18.1 - 51.9 \text{ ppm}$ است. مقدار قابل توجه L.O.I. این سنگ‌ها در اثر دگرسانی کف دریا و به دلیل حضور کانی‌های آبدار مانند آمفیبول است (جدول ۳). عنصر ناسازگار و غیرمتحرک Zr معیار مناسبی برای تشخیص فرایندهای ماگمایی در نمودارهای دوتایی است [۱۹]. بنابراین برای نامگذاری سنگ‌ها و تعیین سری ماگمایی از مقادیر Y / Nb نسبت به Zr/Ti [۲۰] استفاده شد (شکل ۶). بررسی گدازه‌های بالشی افیولیت سبزوار بر نمودار $\text{Na}_2\text{O} + \text{K}_2\text{O} = 100$ [۲۱] نسبت به $\text{Na}_2\text{O} + \text{K}_2\text{O}$ نشان می‌دهد که سنگ‌های گروه ۱ بیشتر دستخوش سدیمی شده‌اند (شکل ۷). نمودار عناصر کمیاب بهنجار شده به N -MORB (شکل ۸ الف) [۲۲] برای هر دو گروه ۱ و ۲ رسم شده است که جدایش کمی به ویژه در عناصر خاکی نادر سنگین (HREE) دارند، اما از نظر عناصر سنگ دوست بزرگ یون (LILE) (Th, Ba, Sr, Cs, Rb) و Ta دچار جدایش بیشتری شده‌اند و غنی‌شدگی نشان می‌دهند. ترکیب سنگ کل نمونه‌های گروه ۱ به دلیل وجود دگرسانی برای عناصر U و LILE و Ta پراکنده‌گی نشان می‌دهند، اما از نظر مقدار عناصر کمیاب به ویژه عناصر خاکی نادر سنگین همبستگی شیمیایی بیشتری با هم دارند. در مقایسه با گروه ۱، نمونه‌های گروه ۲ پراکنده‌گی شیمیایی کمتری از نظر عناصر LILE دارند. الگوهای فراوانی عناصر

جدول ۳ نتایج تجزیه شیمیایی گذاره‌های بالشی افیولیت سبزوار (عناصر اصلی برحسب % و عناصر کمیاب برحسب ppm).
آندزیت تراکی: Tr; داسیت: Dac; بازلت: Bas; آندزیت: AND

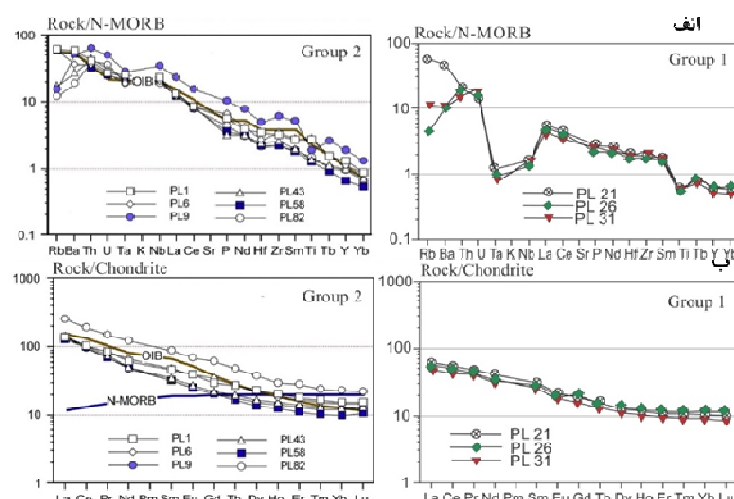
واحد سنجی موقعیت	گروه ۱					گروه ۲									
	علیک ⊗	علیک ▲	علیک ◆	علیک ✚	علیک ▼	باغچه □	باغچه ◇	باغچه ●	باغچه △	سلیمانیه ■	سلیمانیه ◆	سلیمانیه ○	سلیمانیه ○	سلیمانیه □	
نماد	PL21	PL25	PL26	PL28	PL31	PL1	PL6	PL9	PL43	PL58	PL65	PL82			
سنگ	And.	And.	Dac.	And.	And.	Bas.	Bas.	Tr. And.	Bas.	Bas.	Bas.	Bas.			
SiO ₂	۶۵.۴۰	۶۲.۶۹	۶۷.۶۹	۶۴.۳۱	۶۴.۱۰	۴۶.۲۰	۴۶.۷۸	۵۵.۰۳	۴۷.۰۲	۴۷.۲۸	۵۰.۴۰	۴۵.۵۶			
TiO ₂	.۷۲	.۸۱	.۷۱	.۷۶	.۷۶	۲۳۶	۲۴۵	۲۲۵	۱۶۱	۱۵۴	۱۰۷	۱.۸۳			
Al ₂ O ₃	۱۴.۴۴	۱۴.۸۱	۱۳.۱۲	۱۴.۱۷	۱۴.۱۹	۱۳.۳۲	۱۴.۰۴	۱۳.۷۸	۱۵.۱۶	۱۵.۱۸	۱۴.۸۲	۱۵.۶۶			
Fe ₂ O ₃	.۵۵	.۶۳	.۴۶	.۶۰	.۴۷	۱.۶۴	۱.۶۹	.۵۲	۱.۰۳	.۹۷	۱.۱۰	۱.۰۱			
FeO	۳.۶۵	۴.۲۲	۲.۰۷	۳.۹۷	۲.۱۴	۱.۹۵	۱.۱۶	۳.۴۷	۶.۸۵	۶.۴۸	۷.۲۲	۶.۷۲			
MnO	.۱۰	.۱۰	.۰۹	.۱۱	.۰۸	.۱۹	.۱۵	.۱۵	.۱۴	.۱۳	.۲۰	.۰۲۴			
MgO	۱.۹۸	۳.۱۱	۱.۴۳	۲.۵۷	۱.۷۹	۴.۸۹	۳.۱۱	۱.۹۲	۸.۱۰	۸.۲۰	۲.۳۱	۲.۶۱			
CaO	۳.۰۵	۳.۱۵	۲.۶۹	۳.۳۴	۳.۹۷	۹.۸۱	۹.۴۶	۸.۱۰	۱۰.۰۵	۹.۵۶	۱۴.۳۱	۱۲.۳۸			
Na ₂ O	۶.۳۵	۶.۷۱	۹.۳۶	۶.۵۸	۸.۸۸	۳.۳۳	۳.۹۹	۱۰.۸۸	۴.۱۵	۳.۴۹	۵.۰۶	۶.۵۵			
K ₂ O	۲.۱۱	۱.۴۰	.۲۱	۱.۷۳	.۴۵	۲.۱۷	۱.۹۳	.۴۳	.۴۹	۱.۳۹	.۳۷				
P ₂ O ₅	.۳۲	.۳۰	.۲۶	.۲۲	.۲۸	.۶۵	.۷۵	۱.۱۸	.۳۶	.۴۰	.۵۱	.۵۱			
LOI	۱.۰۹	۲.۱۸	.۹۷	۱.۶۷	۱.۹۱	۳.۳۵	۳.۳۸	۲.۲۳	.۵۱۰	.۵۷	۳.۴۶	۱.۸۹			
مجموع	۱۰۰.۰۵	۱۰۰.۱۱	۱۰۰.۰۷	۱۰۰.۰۹	۱۰۰.۰۱	۹۹.۸۹	۹۹.۹۹	۱۰۰.۰۳	۱۰۰.۰۵	۱۰۰.۱۵	۹۹.۹۲	۹۹.۹۷			
Mg#	۴۹.۲	۵۶.۸	۴۵.۳	۵۳.۵	۵۰.۴	۴۴.۳۰	۳۲.۰۰	۴۹.۷۰	۶۷.۸۰	۶۹.۳۰	۳۶.۰۰	۴۰.۹۰			
Zn	۵	۱۷	۲۸	۸	۱۶	۵۴	۴۰	۹۳	۲۷	۲۸	۴	۱۷			
Cu	۱۷	۵۱	۴۸	۲۶	۳۳	۲۳	۳۴	-	۶۴	۳۲	۵۰	۲۳			
Sc	۱۵	۱۷	۱۴	۱۶	۱۵	۳۳	۳۵	۱۳	۲۴	۲۶	۲۴	۲۴			
Ga	۱۷	۱۷	۱۵	۱۷	۲۰	۲۵	۲۷	۲۷	۲۲	۲۰	۲۰	۲۲			
Ni	۲	-	-	-	-	۲۴	۲۹	-	۳۰	۳۶	۱۰	۲۳			
Co	۱۶	۲۰	۱۹	۱۷	۱۸	۳۹	۳۸	۱۸	۴۲	۳۹	۳۸	۴۱			
Cr	۱۷	۱۵	۱۷	۱۲	۱۵	۵۹	۵۷	۶	۴۱	۳۶	۲۲	۲۷			
V	۱۱۲	۱۲۳	۱۳۴	۱۲۱	۱۶۱	۲۹۱	۲۹۸	۱۲۷	۲۵۵	۲۴۶	۳۰۲	۳۴۱			
Ba	۲۹۸	۱۹۹	۶۹	۲۵۴	۶۶	۳۷۸	۲۲۶	۳۳۵	۱۷۷	۲۲۳	۲۲۱	۱۲۲			
Pb	۳	۳	۴	-	۴	۳	۳	۳	۳	۲	۲	۲			
Rb	۳۱.۷	۱۹	۲۳۵	۲۷	۶.۳۷	۲۲۳	۲۲۹۴	۸.۸۶	۹.۸۸	۳۳.۱	۱۲	۶.۸۷			
Sr	۳۷۱	۲۰.۳	۱۶۶	۳۵	۱۴۶	۵۸۵	۴۴۳	۳۷۸	۵۰.۹	۸.۸۳	۹۷۷	۴۱۵			
Y	۱۷.۹	۲۶	۱۷.۵	۲۴	۱۵۱	۲۷.۴	۲۱.۳	۵۱.۹	۲۷.۵	۱۸.۱	۲۲	۲۶.۲			
Zr	۱۳۸	۱۶۵	۱۳۶	۱۵۴	۱۶۷	۲۴۰	۲۵۲	۴۵۷	۱۹۱	۱۶۶	۱۵۱	۱۶۷			
Nb	۳۷۷	۴	۳.۷	۴	۳۶۸	۰.۵۷	۴۹.۱	۱۸.۰	۰.۵۰	۳۹	۴۴.۳				
La	۱۴.۸	۳۵	۱۳.۳	۲۸	۱۱.۲	۲۲۸	۲۱.۰	۵۹.۸	۳۴.۱	۳۰.۴	۳۱	۲۲.۴			
Ce	۳۳.۴	۵۷	۳۰.۱	۵۹	۲۶.۴	۲۶.۸	۶۶.۶	۱۱.۸	۶۳.۵	۶۱.۷	۶۷	۵۸.۰			
Pr	۴.۰۵	-	۴.۱۰	-	۳.۸۵	۷.۹۶	۸.۰۰	۱۴۵	۷.۰۹	۶.۶۱	-	۶.۶۹			
Nd	۱۹.۲	۳۶	۱۵.۹	۳۰	۱۶.۵	۲۸.۶	۳.۰۹	۵۷.۱	۲۳.۶	۲۲.۶	۲۴	۲۲.۴			
Sm	۴.۷۰	-	۴.۳۱	-	۴.۰۷	۷.۲۰	۷.۴۵	۱۲.۵	۵.۲۲	۴.۸۱	-	۴.۸۹			
Eu	۱.۲۶	-	۱.۱۵	-	۱.۰۶	۲.۲۴	۲.۲۷	۴.۰۷	۱.۵۶	۱.۴۶	-	۱.۴۶			
Gd	۳.۸۲	-	۳.۹۷	-	۳.۱۷	۶.۰۵	۷.۰۱	۱۲.۴	۴.۵۱	۴.۲۶	-	۴.۱۴			
Tb	.۰۵۷۳	-	.۰۵۷۹	-	.۰۴۹۰	۱.۰۱	۱.۰۲	۱.۷۸	.۰۷۳۶	.۰۶۱۸	-	.۰۷۷۷			
Dy	۳.۱۹	-	۳.۳۰	-	۲.۷۸	۵.۸۰	۵.۶۹	۹.۶۸	۴.۲۳	۳.۴۷	-	۳.۹۳			
Ho	.۰۹۴۸	-	.۰۷۳	-	.۰۵۹۰	۱.۱۶	۱.۰۲	۱.۷۰	.۰۸۶۰	.۰۷۲۶	-	.۰۷۱۰			
Er	۱.۷۶	-	۱.۹۰	-	۱.۵۴	۳.۰۲	۲.۹۲	۴.۷۹	۲.۳۲	۱.۸۶	-	۲.۱۸			
Tm	.۰۲۷۲	-	.۰۲۹۰	-	.۰۲۳۵	.۰۴۲۰	.۰۳۹۱	.۰۶۲۲	.۰۳۲۲	.۰۲۶۵	-	.۰۳۱۳			
Yb	۱.۷۵	-	۱.۹۴	-	۱.۵۳	۲.۶۵	۲.۵۴	۳.۹۷	۲.۱۶	۱.۶۵	-	۲.۰۴			
Lu	.۰۲۵۰	-	.۰۲۹۷	-	.۰۲۱۷	.۰۳۹۹	.۰۲۷۱	.۰۵۷	.۰۳۳۵	.۰۲۶۷	-	.۰۳۱۴			
Hf	۳.۹۶	-	۳.۷۸	-	۴.۰۰	۷.۰۴	۵.۵۹	۱۰.۱۸	۵.۰۴	۴.۶۴	-	۴.۴۰			
Ta	.۰۱۶۲	-	.۰۱۲۲	-	.۰۰۹۹	۲.۳۳	۲.۴۸	۳.۷۹	۲.۸۴	۲.۸۸	-	۲.۵۷			
Th	۲.۳۵	۱	۲.۶۲	-	۱.۸۶	۰.۴۷	۴.۴۱	۷.۶۶	۰.۵۳۸	۳.۸۹	۵	۰.۴۷			
U	.۰۷۱۱	-	.۰۸۸	-	.۰۹۴۵	.۰۵۶۰	۱.۲۷	۲.۴۰	۱.۴۷	۱.۲۲	-	.۰۷۲۸			
Ti	۴۳.۰۰	۴۹.۰۰	۴۳.۰۰	۴۶.۰۰	۴۵.۰۰	۱۷۲۰۰	۱۸۳۰۰	۱۴۱۰۰	۹۷۰۰	۹۲۰۰	۱۴۰۰	۱۹۰۰			
Ti ₂ V	۳۹	۴۰	۳۲	۲۸	۲۹	۷۲	۷۲	۱۱۴	۴۰	۳۹	۳۳	۲۹			
Ti ₂ Cr	۲۵۳	۳۲۷	۲۵۳	۳۸۳	۳۰۰	۲۹۳	۳۲۱	۲۲۵	۲۳۷	۲۵۶	۳۸۲	۳۳۰			
Nb ₂ Y	.۱۷	.۱۷	.۱۵	.۱۸	.۱۴	۱.۸۱	۱.۲۹	۱.۴۷	۱.۸۸	۲.۲۴	۱.۷۵	۱.۹۳			
Zr/Ti	.۰۰۴	.۰۰۳	.۰۰۳	.۰۰۳	.۰۰۳	.۰۰۱	.۰۰۱	.۰۰۳	.۰۰۲	.۰۰۲	.۰۰۱	.۰۰۱			
(La,Sm) _N	۲.۰۳	-	۱.۹۹	-	۱.۷۸	۲.۹۴	۲.۶۹	۲.۸۵	۴.۲۲	۴.۰۷	-	۴.۷۷			
(Sm,Yb) _N	۲.۹۹	-	۲.۴۷	-	۲.۹۵	۳.۰۲	۳.۲۶	۳.۸	۲.۶۹	۳.۲۵	-	۲.۶۷			
(La,Yb) _N	۶.۰۸	-	۴.۹۲	-	۵.۲۶	۸.۹۰	۸.۷۷	۱۰.۸۲	۱۱.۳۴	۱۲.۲۱	-	۱۱.۴۰			
Na ₂ O+K ₂ O	۵.۹۳	۸.۴۶	۸.۱۱	۹.۵۷	۸.۳۱	۵.۵	۵.۹۲	۱۱.۳۱	۴.۶۶	۵.۱۴	۶.۴۵	۶.۹۲			
100K ₂ O	۲۵۶	۲۱۱	۱۴۰	۲۱	۱۷۳	۲۱۷	۱۹۳	۴۳	۴۹	۱۶۵	۱۳۹	۳۷			



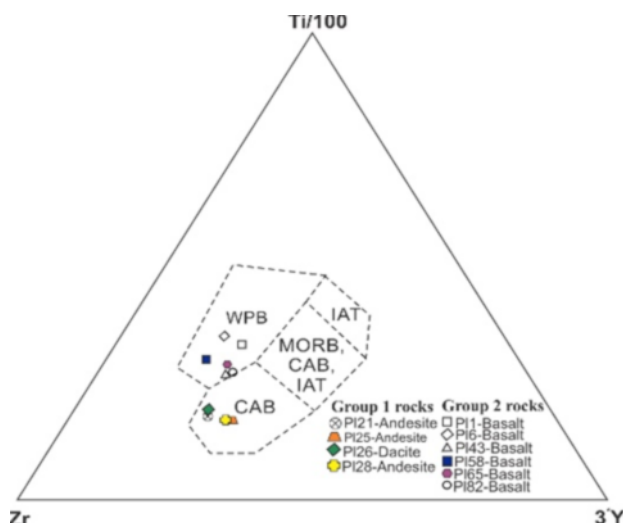
شکل ۶ نمودار Y/Nb نسبت به Zr/TiO_2 [۲۰] که نمونه‌های مورد بررسی بر آن نشان داده شده‌اند.



شکل ۷ نمودار $100\text{K}_2\text{O}/(\text{Na}_2\text{O}+\text{K}_2\text{O})$ نسبت به $\text{Na}_2\text{O}+\text{K}_2\text{O}$ [۲۱] که نمونه‌های مورد بررسی بر آن نشان داده شده‌اند.



شکل ۸ الف- نمودار عناصر خاکی نادر بهنجار شده گدازه‌های بالشی افیولیت سبزوار نسبت به بازالت‌های پشت‌های میان اقیانوسی مورب عادی [۲۲] و ب- نمودار عناصر خاکی نادر بهنجار شده گدازه‌های بالشی نسبت به کندریت (NMORB) [۲۳].



شکل ۹ نمودار 3Y - Zr - $\text{Ti}/100$ که نشان دهنده قلمروهای جزایر قوسی، کف اقیانوس، آهکی قلیایی و درون صفحه‌ای است.

[4] Coleman R.G., "Ophiolites: Ancient Oceanic Lithosphere", Springer-Verlag, New York, (1977) 229 p.

[5] Stocklin J., "Possible ancient continental margins in Iran", In C.A. Burk and C.L. Drake (Eds.), "The Geology of Continental Margins", Springer-Verlag, New York (1974) 873-887.

[6] Vaziri-Tabar F., "Geologie und petrographie der ophiolithe und ihrer Volcanosedimentaren Folge-produkte im Ostteil des Bvergzuges nordlich Sabzevar/Khorasan (Iran)", Theses unive. Saarbucken (1976) 152 p.

[7] Macaudiere J., "Les roches métamorphiques au chainon ophiolitique de Sabzevar. Etude structural du domaine de Soltanabad (NE Iran)", Ofioliti 8 (1983) 127-152.

[8] Sahandi R., "Geological Map of Sabzevar Quadrangle, Scale 1:250,000", Geological Survey and Mining Exploration of Iran (1993).

[9] Majidi J., "Sabzevar Geological Map and Report, 1:100,000", Geological Survey and Mining Exploration of Iran (1999).

[10] Sadredini E., "Geologie und petrographie im Mittelteil des Ophiolith zugesnordlechen Sabzevar (Khorasan/Iran)", Thesis University of Saarbrucken (1974) 120 p.

[11] Alavi-Tehrani N., "Geology and petrography in the ophiolitic range NW of Sabzevar

برداشت

با توجه به ترکیب زمین‌شیمیایی گدازه‌های بالشی مبنی بر اسیدی‌تر شدن و کاهش مقدار منیزیم مذاب اولیه طی صعود، نتیجه می‌شود که مذاب اولیه احتمالاً دارای ترکیب بازی‌تری بوده است. همراهی دراز مدت بازالت‌های کف اقیانوسی با آب دریا و همچنین اثر سیال‌های گرمابی صعود کننده بر روی آنها موجب دگرسانی در این سنگ‌ها شده و همبrijهای دگرسانی در حد رخساره دگرگونی ضعیف تا حد رخساره شیست‌سیز است. با توجه به طبیعت آهکی-قلیایی و اثر مواد پوسته قاره‌ای، تشکیل سنگ‌های گروه ۱ در یک مجموعه زمین‌ساختی قوس قاره‌ای پیشنهاد می‌شود. سازوکار سنگ‌زایی تشکیل ماقماهای گروه ۲ همراه با شروع ذوب‌بخشی از گوشته عمیق و ادامه ذوب‌بخشی در گوشته کم‌عمق است. این ماقماها در مجموعه زمین‌ساختی درون صفحه اقیانوسی تشکیل می‌شوند.

مراجع

- [1] Emami M.H., Sadeghi M.M., Omrani S.J., "Magmatic map of Iran, Scale 1:1,000,000", Geological Survey of Iran (1993).
- [2] Shafaii Moghadam H., Stern R.J., "Ophiolites of Iran: Keys to understanding the tectonic evolution of SW Asia: (1) Paleozoic ophiolites", Journal of Asian Earth Sciences 91 (2014) 19-38.
- [3] Alavi M., "Sedimentary and structural characteristics of the Paleo-Tethys remnants in northeastern Iran", Geological Society of America Bulletin 103 (1991) 983-992.

- [20] Winchester J.A., Floyd P.A., "Geochemical discrimination of different magma series and their differentiation products using immobile elements", *Chemical Geology* 20 (1977) 249-284.
- [21] Hughes C.J., "Spilites, keratophyres and the igneous spectrum", *Geological Magazine* 109 (1973) 513-527.
- [22] Sun S.S, McDonough W.F., "A chemical and isotopic systematics of oceanic basalts: Implication for mantle composition and processes". In: Saunders A.D., Norry M.J. (Eds.), "Magmatism in oceanic basins", Geological Society of London, Special Publication 42 (1989) 313–345.
- [23] Thompson R.N., "Magmatism of the British Tertiary volcanic province", *Scottish Journal of Geology* 18 (1982) 49-107.
- [24] Pearce J.A., Cann, J.R., "Tectonic setting of basic volcanic rocks determined using trace element analyses", *Earth and Planetary Science Letters* 19 (1973) 290-300.
- [25] Baroz F., Macaudiere J., Montigny R., Noghreyan M., Ohnenstetter M., Rocci G., "Ophiolites and related formations in the central part of the Sabzevar (Iran) and possible geotectonics reconstructions". *Neues Jahrbuch für Geologie und Paläontologie (Abhandlungen)* 168 (1984) 358–388.
- [26] Lensch G., Mihm A., Alavi-Tehrani N., "Petrography and geology of the ophiolite belt north of Sabzevar/Khorasan (Iran)". *Neues Jahrbuch für Mineralogie, Abhandlungen* 131 (1977) 156-178.
- [27] Lensch G., Mihm A., Alavi-Tehrani N., "Major element geochemistry of the ophiolites north of Sabzevar (Iran)". *Neues Jahrbuch für Geologie und Paläontologie Monatshefte* 7 (1979) 415-447.
- [28] Shojaat B., Hassanipak A.A., Mobasher K., Ghazi A.M., "Petrology, geochemistry and tectonics of the Sabzevar ophiolite, North Central Iran". *Journal of Asian Earth Science* 21 (2003) 1053-1067.
- [29] Khalatbari Jafari M., Babaie H.A., Mirzaie M., "Geology, petrology and tectonomagmatic evolution of the plutonic crustal rocks of the (Khorasan/Iran), with special regard to metamorphism and genetical relations in an ophiolite suite", Thesis University of Saarbrucken (1976) 147 p.
- [12] Noghreyan M., "Evolution géochimique, mineralogique et structurale d'un edifice ophiolitique singulier: le massif de Sabzevar (partie centrale)", NE de l'Iran, These Doc. d'Etat, Université de Nancy I, France (1982) 239 p.
- [13] Drever H.I., Johnston R., "The petrology of picritic rocks in minor intrusions a Hebridean Group", *Trans Roy Soc Edinburgh* 63 (1958) 459–99.
- [14] Aarab E.M., "Essai de caractérisation d'une série volcanosedimentaire au voisinage d'une complexe ophiolitique (Sabzevar, Iran)", D.E.A. Petrogenese et metallogenese profondes, université de Nancy I, France (1981) 32 p.
- [15] Morimoto N., Fabrise J., Ferguson A., Ginzburg I.V., Ross M., Seifert F.A., Zussman J., Akoi K., Gottardi G., "Nomenclature of pyroxenes", *American Mineralogist* 173 (1988) 1123-1133.
- [16] Lebas N.J., "The rule of aluminous in igneous clinopyroxenes with relation to their parentage", *American Journal of Science* 260(4) (1962) 267-88.
- [17] Nisbet E.G., Pearce J.A., "Clinopyroxene composition of mafic lavas from different tectonic setting", *Contributions to Mineralogy and Petrology* 63(2) (1977) 161-173.
- [18] Leak B.E., Wooley A.R., Arps C.E.S., Birch W.D., Gilbert M.C., Grice J.D., Hawthorne F.C., Kato A., Kisch H.J., Krivovichev V.G., Linthout K., Laird J., Mandarino J., Maresch W.V., Nickel E.H., Rock N.M.S., Schumacher J.C., Smith D.C., Stephenson N.C.N., Ungaretti L., Whittaker E.J.W., Youzhi G., "Nomenclature of amphiboles. Report of the Subcommittee on Amphiboles of the International Mineralogical Association Commission on New Minerals and Mineral Names", *Canadian Mineralogist* 35 (1997) 219-246.
- [19] Miyashita S., Adachi Y., Umino S., "Along-axis magmatic system in the northern Oman ophiolite: Implications of compositional variation of the sheeted dike complex", *An Electronic Journal of the Earth Sciences* (2003) 1-26.

the Albanian–Greek ophiolites and sub-ophiolitic mélanges. New constraints for the Triassic–Jurassic evolution of the Neo-Tethys in the Dinaride sector". Lithos 124 (2011) 227-242.

[32] Chauvet F., Lapierre H., Maury R.C., Bosch D., Basile C., Cotton J., Brunet P., Campillo S., "Triassic alkaline magmatism of the Hawasina Nappes: Post-breakup melting of the Oman lithospheric mantle modified by the Permian Neotethyan Plume". Lithos 122 (2011) 122-136

Sabzevar ophiolite, NE Iran". Geological Magazine 150 (2013b) 862-884.

[30] Omrani H., Moazzen M., Oberhansli R., Altenberger U., Lange M., "The Sabzevar blueschists of the North-Central Iranian micro-continent as remnants of the Neotethys related oceanic crust subduction". International Journal of Earth Science 102 (2013) 1491-1512.

[31] Saccani E., Beccaluva L., Photiades A., Zeda O., "Petrogenesis and tectono-magmatic significance of basalts and mantle peridotites from